

سنتز و بررسی ویژگی‌های نانو بلورک $\text{La}_{0.8}\text{Sr}_{0.2}\text{MnO}_3$ به روش هم‌رسوبی

علی عسجدی^{*}، بابک رئیسی دهکردی، امیر مقصودی پور و احسان مرزبان‌راد

تهران، کرج، پژوهشگاه مواد و انرژی، پژوهشکده سرامیک

تاریخ ثبت اولیه: ۱۳۸۸/۰۵/۱۸، تاریخ دریافت نسخه اصلاح شده: ۱۳۸۸/۰۷/۰۹، تاریخ پذیرش قطعی: ۱۳۸۸/۰۱/۲۹

چکیده

در این تحقیق از مواد اولیه محلول در اسید نیتریک جهت سنتز پیش‌ماده اکسید لانتانیوم استرانسیمون منگنز ($\text{La}_{0.8}\text{Sr}_{0.2}\text{MnO}_3$) در حمام رسوی اگزالات آمونیوم به روش هم‌رسوبی استفاده گردید. برای بررسی دمای کلسانیاسیون از آنالیز حرارتی همزمان (STA) استفاده و دمای بهینه برای کلسانیاسیون 1000°C تعیین شد. برای تشخیص فازها و همچنین مراحل کلسانیاسیون از پراش اشعه X استفاده شد. با استفاده از معادله ویلیامسون - هال اندازه کریستالیت برابر 46 nm بدست آمد. توزیع اندازه ذرات پودر حاصل از این روش در حدود ۱ میکرومتر تشخیص داده شد که پودری با مشخصات ذکر شده برای کاربرد در پیل سوختی با توجه به خواص هدایتی آن مناسب می‌باشد.

واژه‌های کلیدی: اکسید لانتانیوم/استرانسیمون/منگنز، کاند، هم‌رسوبی، پیل سوختی اکسید جامد.

و هزینه‌بر خواهد بود. بنابراین باید در جستجوی منابع جدید و فرآیند جایگزینی آن در دراز مدت باشیم. آنچه منطقی به نظر می‌رسد این است که در شرایط فعلی جستجوی یک منبع واحد برای جایگزینی با منابع فعلی نباشیم و تامین انرژی را از منابع مختلفی برای زندگی و صنعت خود جویا شویم. پیل سوختی اکسید جامد (SOFC) به دلیل راندمان بالا در تبدیل انرژی، حداقل آسودگی و انعطاف‌پذیری بالا نسبت به دیگر سوخت‌ها برای تولید نیروی الکتریکی بسیار مناسب است. دمای کاری بالای سیستم SOFC ($1000-800^{\circ}\text{C}$) مشکل اصلی برای تجاری‌سازی و تطابق‌پذیری طولانی مدت است. به منظور

۱- مقدمه

صرف انرژی در جهان به عنوان مقوله‌ای فraigir توجه اکثر کشورها و دولتها همچنین محققان را به خود جلب نموده است در حالیکه نفت همچنان اصلی‌ترین و بزرگترین منبع تولید انرژی بشر است. در نتیجه یکی از رویکردهای اصلی در زمینه انرژی، پیدا کردن منابعی مناسب به عنوان جایگزین برای سوخت فسیلی در آینده نزدیک است. با توجه به اینکه بسیاری از مصارف عمده انرژی جهان کنونی بر پایه مصرف سوخت‌های فسیلی بنا شده است، تغییر و انتقال در نوع منبع انرژی به منبع دیگر فرآیندی وقت‌گیر

* عهده‌دار مکاتبات: علی عسجدی

نشانی: کرج، مشکین دشت، پژوهشگاه مواد و انرژی

تلفن: ۰۲۶۱-۴۱۳۱-۶۲۰، دورنگار: ۰۲۶۱-۶۲۰۱۸۸۸، پست الکترونیکی: a.asjodi@gmail.com

LSM واپستگی زیادی به شرایط فرآیند دارد و کنترل این پارامترها با روش‌های متداول سنتز سرامیک مشکل است چرا که فرآیند بر اساس دیفوزیون ترکیبات در حالت جامد در ماهای بالا می‌باشد. به همین دلیل روش‌های جدیدی برای سنتز LSM بر اساس روش‌های شیمی تر ارائه شده‌اند.

در تحقیقی مشخصه پودرهای پروسکایت برای غشاها کاتد و اکسیژن ایجاد شده با روش‌های شیمیایی مختلف توسط Seifir و همکارانش [۷] ارائه گردید. همچنین تاثیر روش سنتز بر میزان اکتیویته کاتد توسط Bell و همکارانش [۸] مورد بررسی قرار گرفت. نتایج این مطالعات نشان می‌دهد که سنتز همروسوی از کربنات، پودری ریزتر با ترکیب و ساختار سطحی هموژن‌تر ارائه می‌دهد؛ بنابراین برای کاربردهای هدایتی در سیستم‌های LSM SOFC مناسب‌تر است. در هر دو تحقیق روش تولید LSM مبتنی بر روش همروسوی کربنات بوده است که توسط Tanaka و همکارانش [۹] نیز شرح داده شده است؛ آنها از عامل رسوب‌دهنده Na_2CO_3 استفاده نمودند. روش تهیه LSM بر مبنای همروسوی توسط Ghosh و همکارانش [۱۰] گسترش داده شد که در روش آنها عامل رسوبی، کربنات آمونیوم بود.

در تحقیق حاضر روش همروسوی اگزالاتی برای ایجاد حمام رسوب به کار رفته است. در این مطالعه، ماده کاتدی LSM نانوکریستالی با روش همروسوی سنتز شد و خواص پودر با ابزارهای آزمایشگاهی مختلف مورد آنالیز قرار گرفت.

۲- فعالیت‌های تجربی

۲-۱ مواد اولیه

مواد اولیه شامل مواد زیر می‌باشد:

- اکسید لانتانیوم (La_2O_3) (محصول Merck به شماره ۳۲۵/۸۱ Art ۱۲۲۰ خلوص ۹۹/۹۹٪ و وزن مولکولی ۵۰۰/۱۰ Art ۱۲۲۰ گرم بر مول)

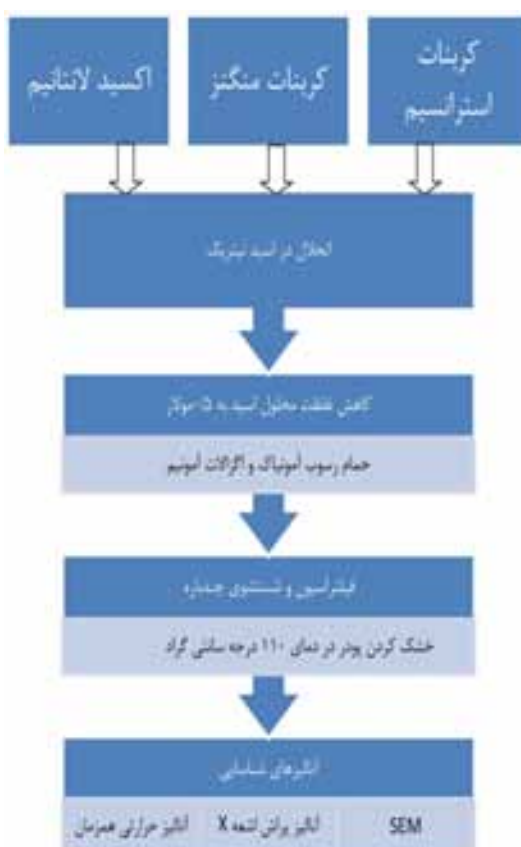
- کربنات استرانسیوم (SrCO_3) (محصول Merck به شماره ۵۰۰/۱۰ Art ۱۰/۷۸۶۱ خلوص ۹۹/۹۹٪ و وزن مولکولی ۶۳/۱۴۷ گرم بر مول)

افزایش مدت زمان کارکرد SOFC و کاهش هزینه‌های سیستم، دمای کاری باید کاهش داده شود لذا کاهش دمای کاری مناسب SOFC یکی از موضوعات تحقیقاتی امروز در دنیا می‌باشد. چندین گروه تحقیقاتی سعی بر کاهش این دما برای SOFC دارند.

لانتانیوم استرانسیوم منگنز ماده کاتدی مناسب برای پیلهای سوختی اکسید جامد (SOFC) بر پایه الکتروولیت زیرکونیای پایدار شده می‌باشد [۱]. در حال حاضر ترکیب اسمی $\text{La}_{(1-x)}\text{Sr}_x\text{MnO}_3$ (x<0.2) یا LSM معمولًا در صنعت پیلهای سوختی استفاده می‌شود. مواد کاتدی پایه LSM تنها وابسته به ترکیب شیمیایی، مشخصات ساختاری و ترمودینامیکی نمی‌باشند بلکه توزیع اندازه تخلخل، اندازه دانه و ریز ساختار نهایی نیز پارامترهای بسیار مهمی در این مواد کاتدی هستند [۲-۴]. در عمل تخلخل و توزیع اندازه تخلخل نقش مهمی را به خاطر نقش دوگانه LSM در سیستم SOFC ایفا می‌کنند به عبارت دیگر، LSM یک الکتروکاتالیست موثر و به طور همزمان نفوذپذیر به گازهای کاتدی است.

جنبه دیگر استفاده از LSM، هموژن کنندگی و بر همکنش با الکتروولیت پایه زیرکونیایی است. یکی از مزایای این برهمکنش بین لایه کاتدی LSM و الکتروولیت پایه زیرکونیایی در سیستم SOFC، دیفوزیون (در مرز فازی) Y_2O_3 از فاز زیرکونیایی پایدار شده توسط ایتریا (Yttria Stabilized Zirconia) به فاز LSM است. دیفوزیون منجر به تشکیل زیرکونیایی تتراگونال و یا مونوکلینیک می‌شود. چنین انتقال ساختار کریستالی در ZrO_2 با تغییر حجمی انجام می‌شود و بدنبال آن ترک (با شدت بیشتر هنگامی که سیستم SOFC به طور مکرر تحت گرمایش و سرمایش باشد) را منجر می‌شود [۵]. علاوه بر این مشکل، محصولات با مقاومت الکتریکی بالا در مرز فازی کاتد/الکتروولیت، شبیه $\text{La}_2\text{Zr}_2\text{O}_7$ ، تشکیل می‌شوند. فاز $\text{La}_2\text{Zr}_2\text{O}_7$ عموماً در سیستم‌هایی بر پایه $\text{LaMnO}_{3+\delta}/\text{YSZ}$ بعد از عملیات حرارتی در دمای بالا $\text{La}_2\text{Zr}_2\text{O}_7$ ایجاد می‌شود. برای جلوگیری از تشکیل $\text{La}_2\text{Zr}_2\text{O}_7$ -منگنز-لانتانیوم با غلظت‌های نسبتاً پایین دوپ می‌شوند. افزودن بیشتر Sr احتمال تشکیل فاز SrZrO_3 با هدایت پایین را افزایش می‌دهد. مشخصات هموژنیتی و ریزساختار

انجام شد. بعد از این مرحله به منظور تعیین پودر بهینه تک فاز LSM تحت آنالیز فازی XRD انجام گردید. الگوهای XRD پودر کلسینه شده LSM برای ارزیابی ثبت شدند. در نهایت برای بررسی مورفولوژی پودر از دستگاه SEM، Cambridge S360 استفاده شد. همچنین جهت تعیین اندازه نانوذرات از روش ویلیامسون-هال استفاده شد [۱۱]. برای اندازه‌گیری توزیع اندازه ذرات پودر سنتزی از دستگاه آنالیز ذرات لیزر ساخت شرکت Fritsch آلمان استفاده گردید.



شکل ۱: فلوچارت فرآیند سنتز پودر LSM

۳- نتایج و بحث

۱-۳ - مطالعات STA

شکل ۲ رفتار حرارتی پودر رسوبی را با آنالیز STA نشان می‌دهد. پیک گرمگیر در دمای کمتر از 200°C ممکن است به خاطر از دست دادن آب جذب شده باشد در حالی که می‌توان پیک گرمگیر در حوالی 480°C را به تجزیه

- کربنات منگنز آبدار ($\text{MnCO}_3 \cdot x\text{H}_2\text{O}$) محصول Merck به شماره Art ۵۹۲۴ خلوص ۹۹/۹۹٪ و وزن مولکولی ۱۱۴/۹۵ گرم بر مول

- اسید نیتریک غلیظ (محصول Merck) به خلوص ۶۸٪ با شماره Art ۲۰۴۰۶/۳۶۷ و وزن مولکولی ۶۳/۱ گرم بر مول) به عنوان حلال

- محلول آبی آمونیاک (NH_3) ۲۵٪ محصول Merck به شماره Art ۲۵۰۰/۰۵۴۳۲/۱ برای تنظیم pH حمام رسوب

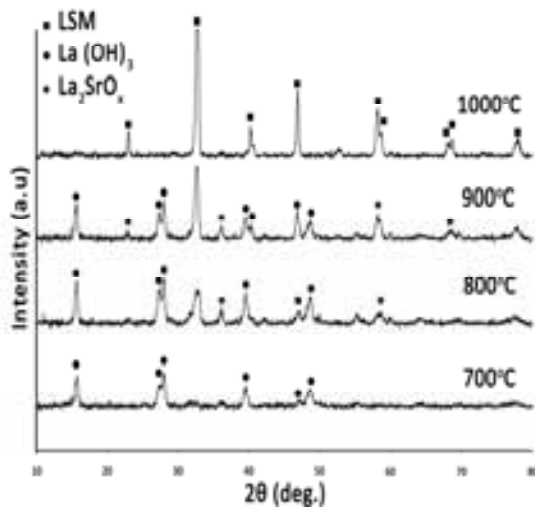
- آب دیونیزه برای رقیق کردن محلول اولیه، حمام رسوب و همچنین شستشوی رسوب

۲-۲ - روش انجام کار

شکل ۱ فلوچارت انجام فرآیند سنتز پودر LSM را نشان می‌دهد. ابتدا محلول‌های نیترات لانتانیوم، نیترات استرانسیوم و نیترات منگنز، با انحلال اکسید لانتانیوم (La_2O_3) و کربنات استرانسیوم (SrCO_3) و کربنات منگنز (MnCO_3) جداگانه در اسید نیتریک غلیظ آماده می‌شوند. مقادیر محاسبه شده از هر محلول برای ایجاد ترکیب استوکیومتری $\text{La}_{0.8}\text{Sr}_{0.2}\text{MnO}_3$ مخلوط شدند. سپس با اضافه شدن به آب، غلظت اسید تا ۰/۵ M کاهش پیدا کرد.

محلول مخلوط شده به صورت قطره‌ای به یک حمام رسوب حاوی محلول اگزالت آمونیوم به منظور تشکیل رسوب کامل La-Mn-Sr pH حمام رسوب با افزودن کمی آمونیاک روی مقدار ۱۰٪ تنظیم شد. دمای مخلوط واکنش در حمام رسوب در 25°C تنظیم شده و ثابت نگه داشته شد. رسوب فیلتر و بعد از فیلتراسیون چندین بار با محلول آب دیونیزه شستشو گردید. رسوب شسته شده در دمای اتاق خشک و سپس بر روی پودر حاصل به منظور بررسی رفتار حرارتی از دمای اتاق تا دمای 1000°C مطالعات آنالیز حرارتی همزمان (STA) با دستگاه PL1640 صورت گرفت. بر اساس مطالعات STA کلسیناسیون پیش ماده پودر در محدوده دمایی زیر 1000°C انجام شد.

بعد از فرآیند خشک کردن، عملیات کلسیناسیون در دماهای 200°C ، 400°C ، 600°C و 900°C به مدت ۳ ساعت



شکل ۳: الگوهای XRD نمونه‌های پودری کلسینه شده در دماهای ۷۰۰، ۸۰۰، ۹۰۰ و ۱۰۰۰ درجه سانتیگراد.

۳-۳- تعیین اندازه کریستالیت‌ها از رابطه ویلیامسون - هال

یکی دیگر از کاربردهای الگوهای XRD علاوه بر تعیین نوع فاز، تعیین اندازه بلورک‌ها می‌باشد. از آنجایی که در دمای ۱۰۰۰ °C، تشكیل یک فاز LSM از طریق XRD تصدیق شد؛ بنابراین پودر کلسینه شده در دمای ۱۰۰۰ °C به مدت ۳ ساعت برای ارزیابی اندازه کریستالیت مورد بررسی قرار گرفت. با توجه به اینکه هر چه پودر ریزتر باشد ساختار سطحی آن نیز هموژن‌تر خواهد بود. لذا پارامتر اندازه کریستالیت فاکتور مهمی در این مورد است.

بدین منظور از روش ویلیامسون - هال برای تعیین اندازه کریستالیت اقدام شد [۱۱]. این محاسبات نشان می‌دهد که متوسط اندازه کریستالیت نمونه کلسینه شده در ۱۰۰۰ °C، ۶۳ nm می‌باشند. لذا این اندازه می‌تواند نتیجه خوبی در راستای ریزدانگی باشد.

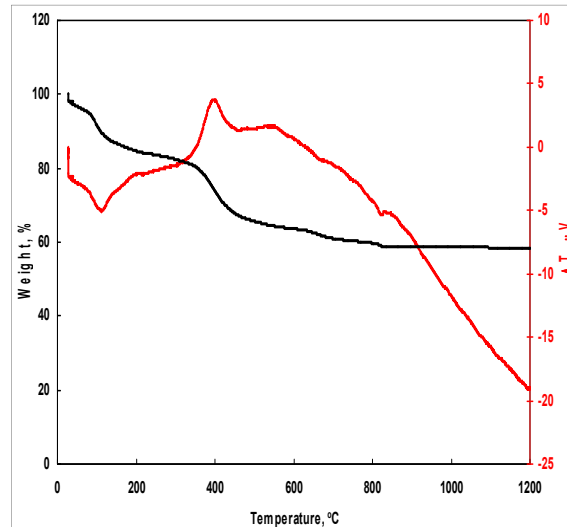
۴-۳- نتایج میکروسکوپ الکترونی روبشی

برای تایید نتایج XRD، پودر کلسینه شده در ۱۰۰۰ °C از طریق میکروسکوپ الکترونی روبشی (SEM) مورد بررسی قرار گرفت. شکل ۴a-d نصاویر پودر کلسینه شده در دماهای متفاوت و با بزرگنمایی‌های متفاوت را نشان می‌دهد.

کامل هیدروکسیدها و تجزیه جزئی کربنات از مواد رسوب نسبت داد.

پیک گرمایی دیگری در بالای ۷۵۰ °C به خاطر تجزیه کامل کربنات و شروع تشکیل فاز LSM باشد. به کمک آنالیز حرارتی وزنی TGA این نوع واکنش‌های تجزیه در دماهای ذکر شده تصدیق می‌شود.

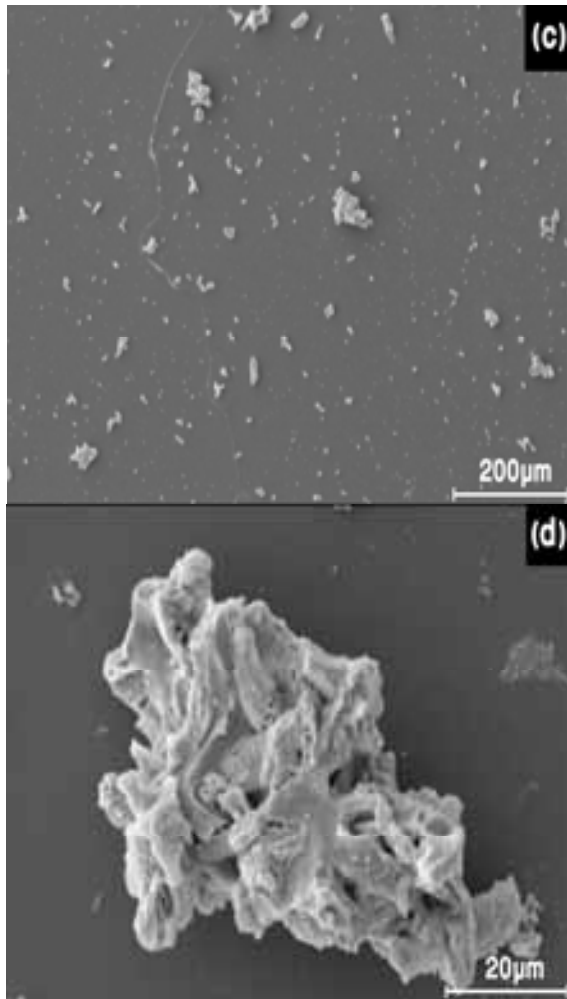
اختلاف کم پیک‌ها از آنالیز حرارتی DTA منجر به محدوده دمایی ۵۰-۲۰۰ °C می‌شود که اصولاً به دلیل از دست دادن مولکول‌های آبی به همراه یون‌های CO_3^{2-} از رسوب است. حتی در محدوده دمایی ۵۰۰-۷۵۰ °C، واکنش تجزیه یونی ادامه دارد. در دمای بالای ۸۰۰ °C ظهور پیک کوچک گرمایزا ممکن است به خاطر تشکیل فاز LSM باشد. این فرض بعداً از طریق مطالعات XRD تصدیق خواهد شد.



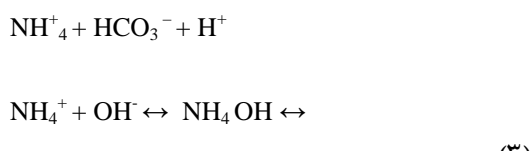
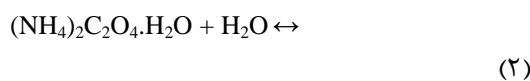
شکل ۲: رفتار حرارتی پودر پیش‌ماده.

۲-۳- بررسی الگوی پراش X (XRD)

الگوهای XRD نمونه‌های پودری کلسینه شده در دماهای مختلف در شکل ۳ نشان داده شده است که تشکیل ناقص LSM در دمای ۹۰۰ °C را تصدیق می‌نماید. به طوری از نتایج XRD مشاهده می‌شود، فقط بالای این دما، تشکیل فاز کامل یا تک فاز LSM ممکن است. بنابراین نتایج XRD نشان می‌دهند که ماده تک فاز می‌تواند با روش همرسوبی در دمای ۱۰۰۰ °C و بالاتر حاصل شود.

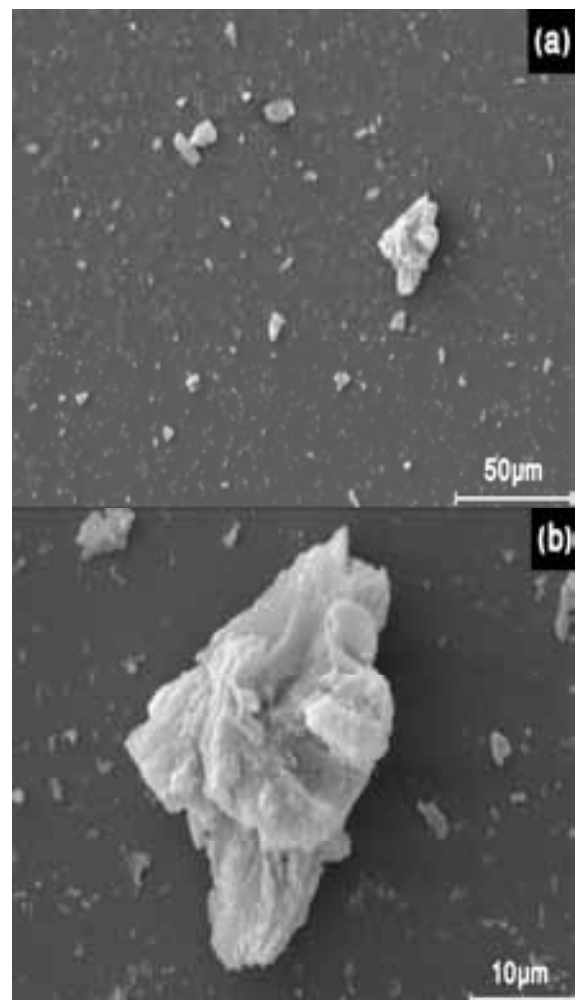


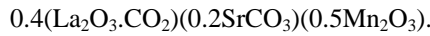
شکل ۴: تصاویر SEM از پودر کلیسینه شده در دماهای مختلف
(a) پودر کلیسینه شده در دمای 900°C ، (b) پودر کلیسینه شده در دمای 900°C
با بزرگنمایی بالاتر، (c) پودر کلیسینه شده در دمای 1000°C
و (d) پودر کلیسینه شده در دمای 1000°C با بزرگنمایی بالاتر.



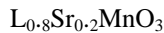
همانطور که از مقایسه شکل ۴-d و ۴-b مشاهده می‌شود، ساختار پودری که در دمای 1000°C کلیسینه شده از پودری که در دمای 900°C کلیسینه شده، متخخلخ‌تر است که ناشی از خروج گاز و کلیسیناسیون کامل می‌باشد. این تصاویر نشان می‌دهد با روش هم‌رسوی پودر حاصله دارای ساختار نانومتری، هموژن و ریزدانه می‌باشد که بسیار مناسب برای کاربردهای هدایتی می‌باشد. طبیعت رسوب در سیستم حاضر، گرانوله بود و به راحتی قابل فیلتر شدن است.

در این مطالعه تحقیقی انجام شده تا ترکیب شیمیایی رسوب از نتایج DTA-TGA و اندازه کریستالیت‌ها به منظور اثبات دستیابی به نانو بلورک از XRD تعیین شود. در مطالعه حاضر، تعادل‌های زیر در محلول رسوب انتظار بود [۱۲]:

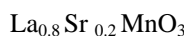




(۸)



واکنش‌های تجزیه در دمای 810°C که حدود $7/3$ درصد افت وزن دارد.



(۹)

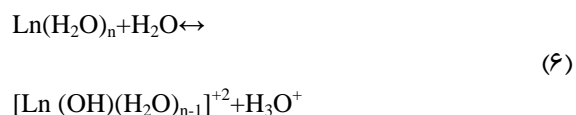
واکنش‌های تجزیه در حدود 480°C بر اساس تحقیقات گزارش شده بر روی نیترات لانتانید و منگنز هستند $\text{TG}[14,17]$. افت وزن کلی اندازه‌گیری شده توسط آنالیز TG تقریباً $22/7\%$ در محدوده دمایی $150-580^{\circ}\text{C}$ تعیین شد. تغییر کم ممکن است به خاطر مقادیر فرضی x و y برای رسوب بر پایه Mn یا ممکن است به خاطر مقدار اضافی آب جذب شده در ماده پیش‌ساز باشد. در حدود 810°C ، تجزیه مواد پیش‌ساز با افت وزنی کل $30/5\%$ از محدوده دمایی 150°C کامل شده است. محاسبه تئوریکی در مورد حاضر هم چنین تقریباً با مقادیر نشان داده شده یکسان است. اما در این دما (810°C) تشکیل فاز LSM از مشاهدات XRD کامل نمی‌باشد (شکل ۲).

پیک‌های گرمایی کوچک در محدوده دمایی بالا $900-1000^{\circ}\text{C}$ نشانه واکنش بیشتر برای تشکیل فاز کامل می‌باشند. الگوی XRD پودر کلسینه شده در این محدوده دمایی نیز این مشاهدات را ثابت و تصدیق می‌کنند.

در مورد پودرهای کلسینه شده می‌توان گفت که اندازه بلورک‌های این پودرها، فاکتور بحرانی در خواص نهایی آنها است. برای بررسی این پارامتر XRD و SEM دو ابزار بسیار مناسب هستند. همانطور که نتایج XRD نشان دادند، ماده تک فاز LSM در دمای 1000°C قابل تولید است و در دماهای قبل آن فاز میانی نیز مشاهده می‌شود که با افزایش دما این فازهای میانی نیز تحت واکنش بیشتر به تک فاز LSM تبدیل می‌شوند. اما از سوی دیگر، پیک‌های XRD مربوط به LSM در دماهای متفاوت از لحاظ شدت و پهنهای پیک تغییر می‌کنند به طوری که مشاهده می‌شود، در دمای 700°C پیک‌ها نسبت به دماهای بالاتر پهن‌تر می‌باشند. اما با افزایش دما این پیک‌ها باریک‌تر



کاتیونهای Ln^{+} تحت هیدراتاسیون و هیدرولیز در آب به گونه‌های کمپلکس مختلف تشکیل می‌شود [۱۳]:

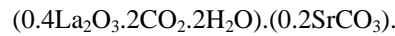


در حین رسوب‌گذاری، کمپلکس‌های تشکیل شده در بالا بعد از واکنش با آنیون‌های کربنات، رسوب تشکیل می‌دهند.

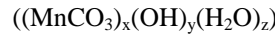
از آنجایی که رسوب در حضور مقادیر بالاتر آنیون‌های کربنات انجام می‌شود، احتمال تشکیل کربنات و کربنات هیدروکسید ماکریم هستند. برای مواد لانتانید، هنگامی که این نوع واکنش‌ها در دماهای بالای 70°C می‌شوند، محصول $\text{Ln}_2\text{O}_3\cdot 2\text{CO}_2\cdot 2\text{H}_2\text{O}$ [۱۴, ۱۵]. تحت شرایط مشابه، منگنز، به صورت نیترات منگنز رسوب می‌کند. اما به لحاظ عملی عملی نیترات منگنز ایجاد شده در چنین روشی نمی‌تواند هرگز استوکیومتری باشد و فرمول‌ها می‌توانند به صورت $\text{Mn}(\text{CO}_3)_x(\text{OH})_y(\text{H}_2\text{O})_z$ تصحیح شوند [۱۶].

معمولًا در $x > 0/75$, $y < 0/2$ و $z = 0/45$ و مقدار z در محدوده $0/45 - 0/4$ قرار داد.

بنابراین، فرمول‌های پیش‌سازهای رسوب یافته بعد از شستشو و خشک کردن می‌تواند به صورت فرمول زیر نوشته شود:



(۷)



رفتار تجزیه این پیش‌سازها بعد از خروج کامل آب جذب شده (در 200°C) به صورت زیر بیان می‌شود با فرض اینکه:

$$z = 0.5, Y = 0.25, X = 0.875$$

در دمای 420°C حدود $22/7$ افت وزنی وجود دارد.

لذا دمای 980°C بسیار مناسب برای کلسیناسیون و دستیابی به تک فاز LSM است. چون دماهای بالاتر تمامی گرما صرف اگلومراسیون و رشد دانه‌ها خواهد شد که در خواص نهایی پودر اثر مثبتی نخواهد داشت. در نهایت، آزمون PSA با دستگاه Fritsch GmbH اندازه متوسط ذرات را با احتساب گرانوله شدن آنها، در حدود ۱ میکرومتر تشخیص داد که در شکل ۵ آورده شده است.

۴- نتیجه‌گیری

در این پژوهش پودر تک فاز $\text{La}_{0.8}\text{Sr}_{0.2}\text{MnO}_3$ با روش همرسوبی با هدف بهینه‌سازی شرایط تولید و ایجاد رسوب قابل فیلتر شدن سنتز شد. شرایطی از قبیل $\text{pH} = 10$ ، $T = 1000^{\circ}\text{C}$ ، بهترین حالت بهینه دمای کلسیناسیون 980°C برای سنتز پودر تک فاز بودند. در نهایت پودری با ابعاد کریستالی 63 nm سنتز شد که ریزدانگی آن بسیار مناسب برای کاربردهای هدایتی بود.

سپاسگزاری

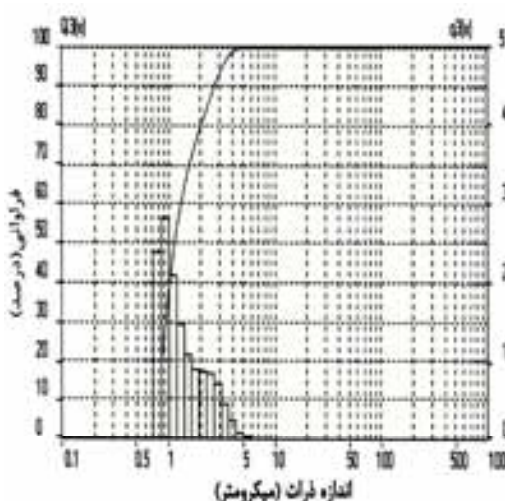
وظیفه خود می‌دانیم از راهنمایی‌های ارزنده استاد پژوهشگاه مواد و انرژی در راستای ویرایش مقاله و مسئولین و کارشناسان محترم آزمایشگاه‌های دانشگاه تربیت مدرس و تمام افرادی که ما را در انجام این تحقیق یاری نمودند تشکر و قدردانی نماییم.

می‌شوند و این نشان‌دهنده رشد دانه‌ها علاوه بر واکنش برای رسیدن به تک فاز LSM می‌باشد. چنین رفتاری کاملاً در شکل ۵ قابل مشاهده است. پس می‌توان نتیجه گرفت که پارامتر اندازه بلورک وابستگی زیادی بر دمای کلسیناسیون دارد. از آنجایی که پودر ریزتر خواص کاربردی بهتری نیز دارد. پس دستیابی به دمای بهینه کلسیناسیون بسیار مهم است. در نهایت با بررسی‌های انجام شده دمای بهینه کلسیناسیون 980°C تخمین زده شد.

برای تصدیق نتایج محاسبات اندازه ذرات از الگوی XRD مشاهدات میکروسکوپی انجام شد. این مشاهدات علاوه بر STA تصدیق مشاهدات XRD، به نوعی به تفسیر نتایج کمکی موثر می‌کند. در نمونه کلسینه شده در 980°C ذرات پودر ریزتر و ساختار آنها به نظر چگال‌تر بودند. اما در نمونه کلسینه شده در 1000°C ساختار پودر حالت توخالی اما اندازه ذرات پودر کمی درشت‌تر به نظر می‌آیند. این نشان می‌دهد که در دمای 980°C خروج گازها به صورت کامل انجام نگرفته است؛ در حالی که در دمای 1000°C این خروج به صورت کامل انجام شده است و منجر به تخلخل و ساختار توخالی پودرها شده است. همچنین تفاوت زیادی در اندازه پودرها مشاهده شده است که نشان می‌دهد غالب انرژی تامین شده از طریق دما صرف تکمیل شدن واکنش و خروج گاز شده است و انرژی چندانی برای افزایش رشد دانه‌ها باقی نمانده است.

مراجع

- [1] N.Q. Minh, *J. Am. Ceram. Soc.*, **76**, 1993, 563.
- [2] R. Mahesh, R. Mahendiran, A.K. Raychaudhuri, C.N.R. Rao, *Appl. Phys. Lett.*, **68**, 1996, 2291.
- [3] Y. Huang, Z. Xu, C. Yan, Z. Wang, T. Zhu, C. Liao, *Solid State Commun.*, **114**, 2000, 43.
- [4] N. Zhang, W. Ding, W. Zhong, D. Xing, Y. Du, *J. Phys. Rev.*, **B56**, 1997, 8138.
- [5] L. Kilizendermann, D. Das, D. Bahadur, R. Weiss, H. Nikel, K. Hilpert, *J. Am. Ceram Soc.*, **80**, 1997, 909.
- [6] C. Clausen, C. Bagger, J.B. Bilde-Sorensen, A. Horsewell, *J. Solid State Ionics*, **70**, 1994, 59.
- [7] R.J. Bell, G.J. Millar, J. Drennan, *J. Solid State Ionics*, **131**, 2000, 211.
- [8] J. Sefir, S. Vaucher, P. Holtappels, U. Vogt, H.J. Schindler, J. Vanherle, E. Suvorova, P. Buffat, D. Perret, N. Xanthopoulos, O. Bucheli, *J. Eur. Cer. Soc.*, **25**, 2005, 1991.
- [9] J. Tanaka, K. Takahashi, Y. Yajima, M. Tsukioka, *Chemistry Letters*, **5**, 1982, 1847.
- [10] A. Ghosh, A. K. Sahu, A.K. Gulnar, A.K. Suri, *Scripta Materialia*, **52**, 2005, 1305.



شکل ۵: توزیع اندازه ذرات پودر سنتز شده.

- Rao, *J. Inorg. Nucl. Chem.*, **28**, 1966, 1165.
[15] J. Preiss, A.Z. Dussik, *J. Anorg. Allg. Chem.*, **131**, 1923, 275.
[16] A.J. Hegediis, K. Martin , *Microchimica Acta*, **72**, 1966, 833.
[17] R.P. Wasterdahl, P.J. Leader, *J. Inorg. Nucl. Chem. Lett.*, **5**, 1969, 199.
[11] G.K. Williamson, W.H. Hall, *Acta Metallurgica*, **1**, 1953, 22.
[12] J.G. Li, T. Ikegami, Y. Wang, T. Mori, *J. Am. Ceram. Soc.*, **86**, 2003, 915.
[13] J. M. López Nieto, J. L. G. Fierro, L. González Tejucá , G. Kremeni, *Journal of Catalysis*, **107**, 1987, 325.
[14] R.L. Sastry, S.R. Yoganarasimhan, P.N. Mehrotra, C.N.R.